

# Metal Oksit ve Organik Bazlı Çoklu Heteroeklemin Yapısal ve Elektriksel Özelliklerinin İncelenmesi

Sıtkı AKTAŞ<sup>1\*</sup>, Fatih ÜNAL<sup>2</sup>

## Öz

Bu çalışmada, yarıiletken metal oksit ZnO bileşigi elektrokimyasal kaplama yöntemi kullanılarak cam/ITO üzerine büyütülmüştür. Daha sonra C<sub>24</sub>H<sub>12</sub> organik yarıiletken katmanı termal buharlaşdırma yöntemiyle cam/ITO/ZnO ekleminin üzerine kaplanmıştır ve cam/ITO/ZnO/C<sub>24</sub>H<sub>12</sub> çoklu heteroeklemi üretilmiştir. Üretilen tabakaların yüzeysel analizi taramalı elektron mikroskopu (SEM) ile yapılmış, ZnO tabakasının nanopul (nanoflake) ve nanoçubuk, C<sub>24</sub>H<sub>12</sub> tabakasının nanotel şeklinde büyüğü görülmüştür. Ayrıca ZnO tabakasının elementel dağılımı Enerji dağılımlı X-ray spektroskopisi (EDS) ile incelenmiş, Zn ve O elementlerinin tabaka içerisinde homojen bir dağılım sergiledikleri görülmüştür. ±1.5V uygulama potansiyeli aralığında karanlık ve 100mW/cm<sup>2</sup> ışık şiddeti altında Ag/ITO/ZnO/C<sub>24</sub>H<sub>12</sub>/Ag çoklu heteroekleminin elektriksel özellikleri karakterize edilmiş. Karanlık ortamda, seri direnç (Rs), diyon idealite faktörü (n), engel yüksekliği ( $\phi_b$ ), ters doyma akımı ( $I_0$ ) sırasıyla  $\approx 10^4 \Omega$ , 7.5-6.5, 0.647 eV ve  $5.7 \times 10^{-7} \text{ A}$  değerlerini almışken, 100mW/cm<sup>2</sup> ışık şiddeti altında bu değerlerin sırasıyla  $\approx 10^3 \Omega$ , 6.5-1.3, 0.914 eV ve  $1.9 \times 10^{-11} \text{ A}$  olduğu görülmüştür. Çoklu heteroeklemin fotoiletkenlik mekanizması için önemli parametreler olan fotoakım ( $I_{ph}$ ), fotoduyarlılık (R) ve fotohassasiyet (S) değerleri ileri besleme altında farklı voltaj değerlerinde belirlenmiştir. Ayrıca çoklu heteroeklemin fotovoltaik parametreleri hesaplanmış ve dolum faktörü FF'nin 0.56 olduğu görülmüştür. Tüm bu analizler sonucunda ürettiğimiz Ag/ITO/ZnO/C<sub>24</sub>H<sub>12</sub>/Ag çoklu heteroeklemi photodiyyot ve fotovoltaik davranış sergilediği görülmüştür.

**Anahtar kelimeler:** Fotodiyyot, Çoklu heteroeklem, Hibrit heteroeklem, ZnO, C<sub>24</sub>H<sub>12</sub>, I-V karakterizasyon

## Investigation of Structural and Electrical Properties of Metal Oxide and Organic Based Multi Heterojunction

### Abstract

In this study, semiconductor metal oxide ZnO compound was grown on glass/ITO substrate by electrochemical deposition technique. Later on, C<sub>24</sub>H<sub>12</sub> organic semiconductor layer was deposited on glass/ITO/ZnO junction by thermal evaporation method and glass/ITO/ZnO/C<sub>24</sub>H<sub>12</sub> multi heterojunction was fabricated. Surface analyses of produced layers was performed by Scanning electron microscopy (SEM) and it is seen that surface morphology of ZnO and C<sub>24</sub>H<sub>12</sub> has nanoflake-nanorod structures and, nanowire structure, respectively. In addition, the elemental distribution of the ZnO layer was examined by Energy dispersive X-ray spectroscopy (EDS), and it was observed that Zn and O elements exhibited a homogeneous distribution within the layer. The electrical properties of Ag/ITO/ZnO/C<sub>24</sub>H<sub>12</sub>/Ag multi heterojunction were characterized under dark and 100mW/cm<sup>2</sup> light intensity in the range of ±1.5V application potential. In the dark environment, series resistance (Rs), diode ideality factor (n), barrier height ( $\phi_b$ ), reverse saturation current ( $I_0$ ) were  $\approx 10^4 \Omega$ , 7.5-6.5, 0.647 eV and  $5.7 \times 10^{-7} \text{ A}$ , respectively, while under 100mW/cm<sup>2</sup> light intensity, these values were found to be  $\approx 10^3 \Omega$ , 6.5-1.3, 0.914 eV and  $1.9 \times 10^{-11} \text{ A}$ , respectively. The photocurrent ( $I_{ph}$ ), photosensitivity (R) and photosensitivity (S) values, which are important parameters for the photoconductivity mechanism of the multi heterojunction, were determined at different voltage values under forward bias. In addition, the photovoltaic parameters of the multi heterojunction were calculated and the fill factor FF was found to be 0.56. As a result, it was observed that the Ag/ITO/ZnO/C<sub>24</sub>H<sub>12</sub>/Ag multi-heterojunction exhibited photodiode and photovoltaic behaviour.

**Keywords:** Photodiode, Multi heterojunction, Hybrid junction, ZnO, C<sub>24</sub>H<sub>12</sub>, I-V characterization

<sup>1</sup>Giresun Üniversitesi, Mühendislik Fakültesi, Makine Mühendisliği Bölümü, Giresun, Türkiye, sitki.aktas@giresun.edu.tr

<sup>2</sup>Giresun Üniversitesi, Merkezi Araştırma Laboratuvarı Uygulama ve Araştırma Merkezi, Giresun, Türkiye, fatih.unal@giresun.edu.tr

<sup>1</sup><https://orcid.org/0000-0002-9143-6752>

<sup>2</sup><https://orcid.org/0000-0002-6155-7051>

## 1. Giriş

Çinko oksit ( $ZnO$ ) nanoyapılar, elektronik ve fotonik cihazlarda potansiyel uygulamalarından dolayı oldukça dikkat çekmektedir. Çinko oksit geniş bant aralığı, piezoelektrik özelliği, yüksek uyarılma bağlanma enerjisi ve optoelektronik özelliklerini açısından yarıiletken teknolojisinde çokça tercih edilen bir malzemedir (Sharma ve ark., 2014; Pathak ve ark., 2016; Isteayag ve Muzaffer, 2020). Ametal, geçiş metalleri ve nadir toprak elementlerinin  $ZnO$ 'nun elektriksel ve optik özelliklerinin iyileştirilmesi amacıyla  $ZnO$  içeresine katkılандığı örnekler literatürde mevcuttur (Ueda ve ark., 2001; Pathak ve ark., 2016; Samadi ve ark., 2016). Bunun yanında  $ZnO$  yapısının kalınlığı ve kaplama yöntemleri de elektriksel ve optik özelliklerinin iyileştirilmesinde önemli bir paya sahiptir (Lee ve ark., 2002; Isteayag ve Muzaffer, 2020).  $ZnO$  nano yapıları DC ve RF magnetron püskürtme (Lee ve ark., 2002; Pathak ve ark., 2016), termal buharlaştırma (Chrissanthopoulos ve ark., 2011), atomik katman biriktirme (Pietruszka ve ark., 2014), spin kaplama (Rana ve ark., 2018; Isteayag ve Muzaffer, 2020), hidrotermal sentezleme (Liu ve Zeng, 2003; Zhao ve ark., 2019) ve elektrokimyasal kaplama (Chandrappa ve Venkatesha, 2012; Pourmortazavi ve ark., 2015; Marimuthu ve ark., 2018) gibi sıralanabilecek yöntemlerde kullanmaktadır.

Aynı zamanda organik yarıiletkenlerde sahip oldukları özellikler bakımından birçok yeni nesil devre elamanları üzerine yapılan çalışmalarla önemli bir yere sahiptirler (Klauk, 2010; Yuvaraja ve ark., 2020; Zhang ve ark., 2020; Zhang ve ark., 2021). Genel olarak kontaktların akım taşıma mekanizmasını kontrol edebilmek için yalıtkan veya yarıiletken metal oksit tabakalar tercih edilirken, organik yarıiletkenler sahip oldukları elektriksel karakteristiklerinden dolayı arayüz tabakası olarak önemli ölçüde tercih edilmektedirler (Güllü ve ark., 2010; Pireira ve ark., 2018; Erdal, 2020; Kocyigit ve ark., 2020; Meng ve ark., 2020).  $C_{24}H_{12}$  (Coronene) çok halkalı hidrokarbonlu monoklinik kristal yapıda bulunan, yüksek taşıyıcı konsantrasyonuna sahip ve fotoluminesans özelliği olan organik bir moleküldür. Bu özelliklerinden dolayı organik bazlı fotodiyotlar ve ışık yayan diyonların (LED) geliştirilmesinde ara yüz tabakası olarak tercih edilmektedir (Chen ve ark., 2012; Erdal, 2020; Ünal, 2021).

Bu çalışmada  $ZnO$  tabakası cam/ITO üzerine başarılı bir şekilde elektrokimyasal kaplama yöntemiyle büyütülmüştür. Cam/ITO/ $ZnO$  tabakasının üzerine  $C_{24}H_{12}$  organik tabakası termal buharlaştırma yöntemi kullanılarak biriktirilmiştir. Farklı yöntemlerle üretilen  $ZnO$  ve  $C_{24}H_{12}$  tabakaların yüzey morfolojileri taramalı elektron mikroskopu (SEM) kullanılarak incelenmiş ve ayrıca  $ZnO$  tabakasının elementel dağılımları enerji dağılım spektroskopisi (EDS) yöntemi kullanılarak yapılmıştır. Elektriksel özelliklerinin incelenmesi için en alt tabaka ITO ve en üst tabaka  $C_{24}H_{12}$  üzerine termal buharlaştırma yöntemiyle noktalı Ag kontaktları atılmıştır ve Ag/ITO/ $ZnO/C_{24}H_{12}/Ag$  çoklu heteroeklemi elde edilmiştir. Optoelektronik uygulamalara bir

alternatif sunmak için elektriksel analiz  $\pm 1.5\text{V}$  potansiyel aralığında karanlık ve  $100 \text{ mW/cm}^2$  ışık şiddeti altında gerçekleştirilmiştir. Farklı metotlar kullanarak karanlık ve ışıklı ortamda seri direnç  $R_s$ , diyot idealite faktörü  $n$ , engel yüksekliği  $\emptyset_b$ , ters doyma akımı  $I_0$  gibi diyot parametreleri ve  $100 \text{ mW/cm}^2$  ışık şiddeti altında heteroeklemin fotoiletkenliği hakkında önemli parametreler olan fotoakım  $I_{ph}$ , fotoduyarlılık  $R$  ve fotoassasiyet  $S$  değerleri belirlenmiştir. Ayrıca ürettiğimiz çoklu heteroeklemin ışık altında fotovoltaik parametreleri belirlenmiş ve buradan dolum faktörü  $FF$  hesaplanmıştır.

## 2. Materyal ve Metot

ZnO ince film tabakasının cam/ITO ( $2 \times 1\text{cm}$ ) üzerine elektrokimyasal kaplama yöntemiyle büyütülmeden önce, cam/ITO tabakası ilk olarak sabunlu su ile 10 dakika ultrasonik banyoda tutuldu. Daha sonra, ultra saf su ile durulanarak, sırasıyla 10 dakika boyunca aseton ve propanol içerisinde ultrasonik banyoya bırakıldı. Son aşamada, cam/ITO yüzeyi nitrojen gazı ile kurutulmuştur.

Çoklu heteroeklem elektrokimyasal kaplama ve termal buharlaştırma yöntemleri kullanılarak iki aşamada üretilmiştir. İlk olarak, elektrokimyasal kaplama çözeltisi  $5 \text{ mM ZnCl}_2$  ( $20 \text{ mL}$ ) ile  $250 \text{ mM LiCl}$  ( $10 \text{ mL}$ ) karıştırarak toplamda  $30 \text{ mL}$  elde edilmiştir ve ince film üçlü elektrot kombinasyonuyla AUTOLAB PGSTAT128N kaplama sistemi kullanılarak kaplanmıştır. Karşıt elektrot olarak Pt plaka, referans elektrot olarak Ag/AgCl referans eletrodu ve çalışma elektrodu olarakta  $2 \text{ cm}^2$  yüzey alanına sahip cam/ITO kullanılmıştır. Üretim boyunca çözelti sıcaklığı hotplate kullanılarak  $60^\circ\text{C}$ 'de sabit tutulmuş ve uygulama voltajı  $-0.9 \text{ V}$  olarak, kaplama süresi 3600 sn olarak belirlenmiştir ve bu süre sonunda cam/ITO/ZnO tabakası elde edilmiştir.

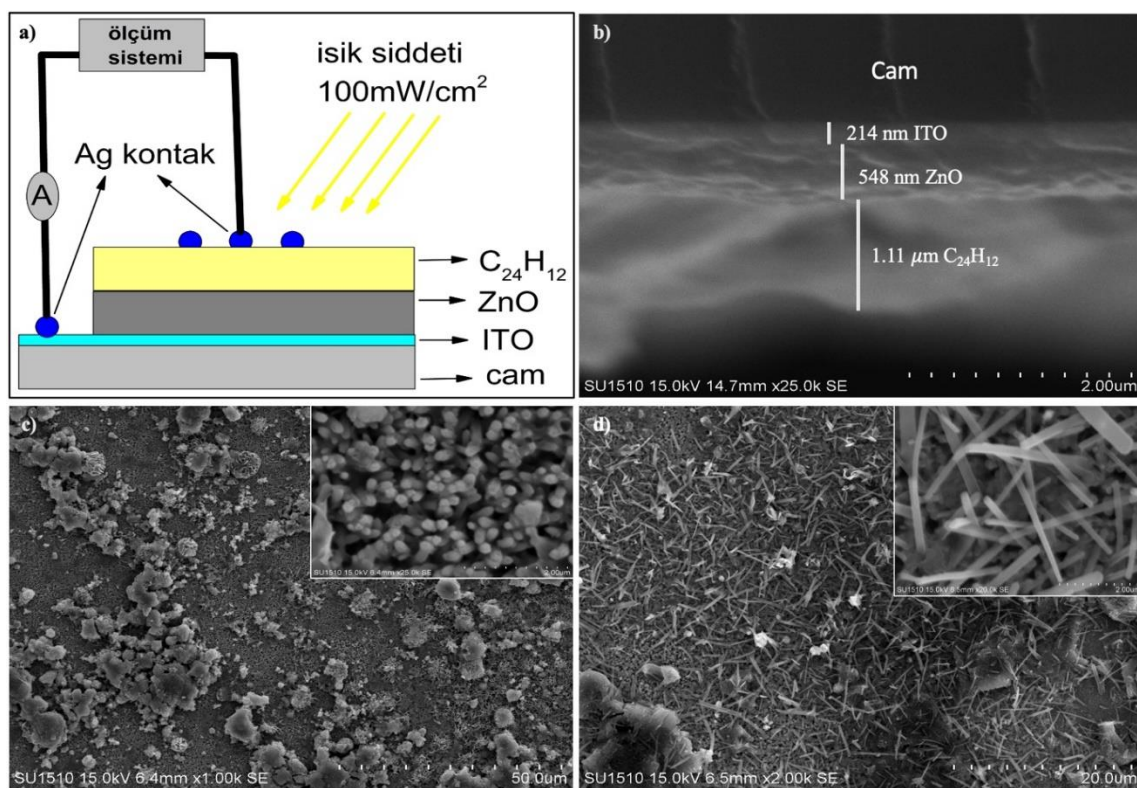
Termal buharlaştırma yöntemi kullanılarak toz formdaki  $C_{24}H_{12}$  organik bileşiği ince bir film formunda cam/ITO/ZnO tabakasının üzerine büyütülmüştür ve cam/ITO/ZnO/ $C_{24}H_{12}$  çoklu heteroeklemi üretilmiştir. Kaplama oda sıcaklığında ve  $\approx 10^{-5}$  Torr basınç altında Vaksis (PVD-MT/2M2T) sistemi ile gerçekleştirilmiştir. Elektriksel karakterizasyon işlemi için cam/ITO/ZnO/ $C_{24}H_{12}$  çoklu heteroekleminin en alt tabakası ITO yüzeyi ile en üst tabası  $C_{24}H_{12}$  yüzeyine Ag kontaklar atılmıştır ve Ag/ITO/ZnO/ $C_{24}H_{12}$ /Ag çoklu heteroeklem yapısı oluşturulmuştur. Şekil 1a'da bu çoklu heteroeklemin şematik gösterimi verilmiştir.

Elektrokimyasal kaplama yöntemiyle üretilen ZnO tabakasının ve termal buharlaştırma metodu ile büyütülen  $C_{24}H_{12}$  ince film tabakasının yüzey morfolojileri taramalı elektron mikroskopu (SEM) (Hitachi SU 1510) ile gerçekleştirilmiştir. Bunun yanında, ZnO yüzeyinin elementel analizi SEM'e bağlı enerji dağılımlı X-ray spektroskopisi (SEM-EDS) kullanılarak yapılmıştır. Çoklu heteroeklemin kesit alanından alınan SEM görüntüleriyle büyütülen film kalınlıkları tespit edilmiştir. Elde edilen

çoklu heteroeklemin I-V karakteristik ölçümleri Solar Simulator LSS 900 Characterisation System kullanılarak karanlık ve  $100 \text{ mW cm}^{-2}$  ışık şiddeti altında belirlenmiştir.

### 3. Bulgular ve Tartışma

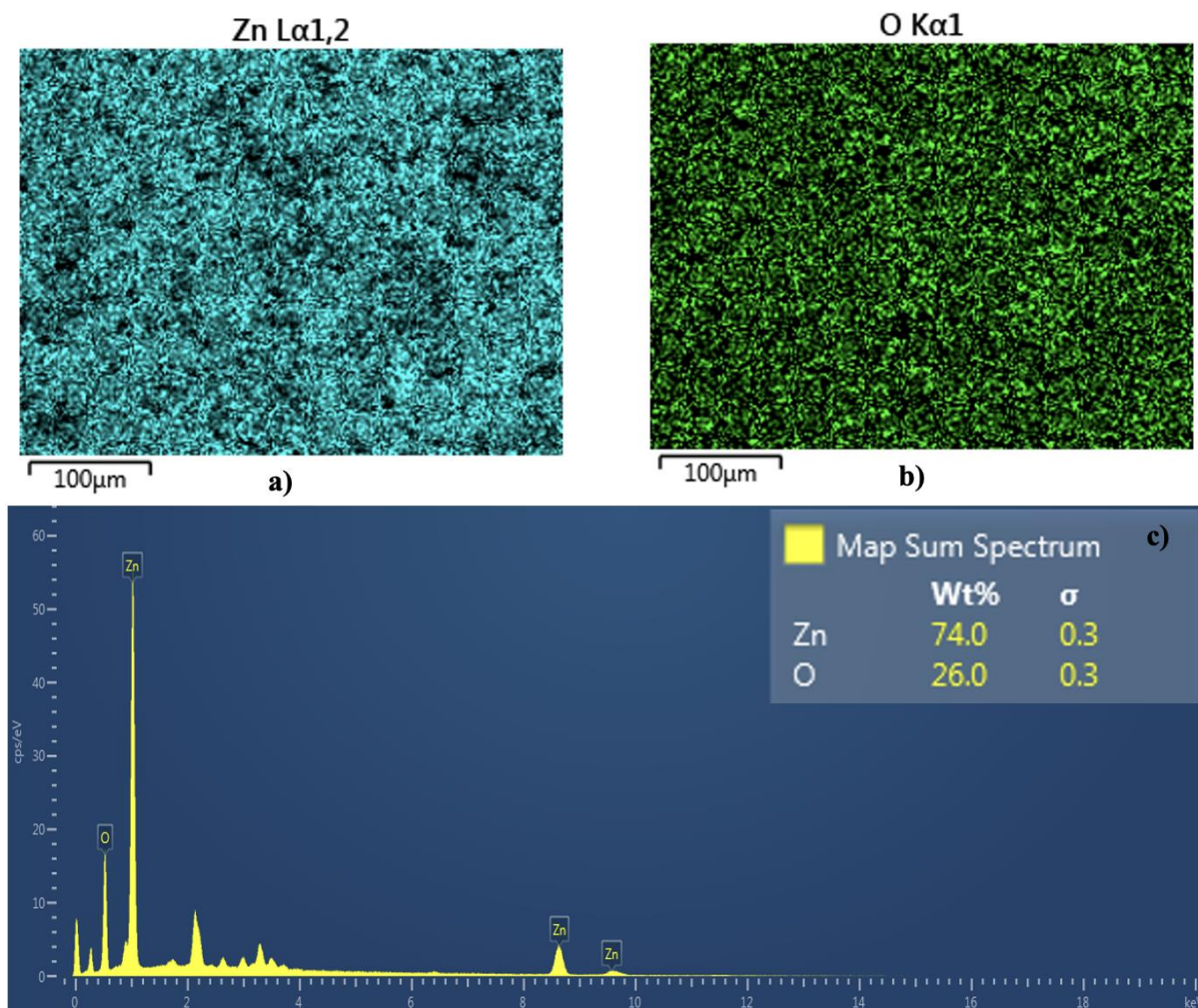
Farklı iki metot kullanılarak üretilen Ag/ITO/ZnO/C<sub>24</sub>H<sub>12</sub>/Ag çoklu heteroeklemin kesit alanı SEM görüntüsü Şekil 1b'de verilmiştir. Şekil 1b'den ITO tabakasının kalınlığı 214 nm, ZnO tabakasının kalınlığı 548 nm ve en üst tabaka olan C<sub>24</sub>H<sub>12</sub> tabakasının 1.11 μm kalınlığında olduğu görülmüştür. Şekil 1c'de sunulan SEM görüntüsüne göre ZnO yüzeyinin homojen bir yapıya sahip olmadığı ve nanoçubuk ve nanopul (nanoflake) yapılarının birlikte var olduğu görülmektedir. Bunun yanında Şekil 1c içinde ZnO yüzeyinin 25.000 büyütmede nanoçubuk yapılarının yakından görüntüsü verilmiştir. Şekil 1d'de görüldüğü gibi ZnO yüzeyinde büyütülen C<sub>24</sub>H<sub>12</sub> yapısının genel olarak daha homojen olduğu görülmüştür. Ayrıca Şekil 1d içinde sunulan C<sub>24</sub>H<sub>12</sub> yüzeyinin 20.000 büyütmedeki SEM görüntüsünden, C<sub>24</sub>H<sub>12</sub> tabakasının nanoteller (nanowires) şeklinde büyüğü görülmüştür.



**Şekil 1.** Ag/ITO/ZnO/C<sub>24</sub>H<sub>12</sub>/Ag çoklu heteroeklemin a) şematik görüntüsü b) kesit alanından elde edilmiş SEM görüntüsü c) ZnO yüzeyinin 1000 büyütme SEM görüntüsü ve inset görüntü aynı yüzeyin 25.000 büyütme SEM görüntüsü d) Coronene yüzeyinin 2000 büyütme SEM görüntüsü ve inset görüntü aynı yüzeyin 20.000 büyütme SEM görüntüsü.

Elektrokimyasal kaplama yöntemiyle büyütülen ZnO bileşiginin elementel analizi SEM-EDS kullanılarak yapılmıştır. Şekil 2a ve 2b'de verilen görüntülerde Zn ve O elementlerinin yapı içerisinde

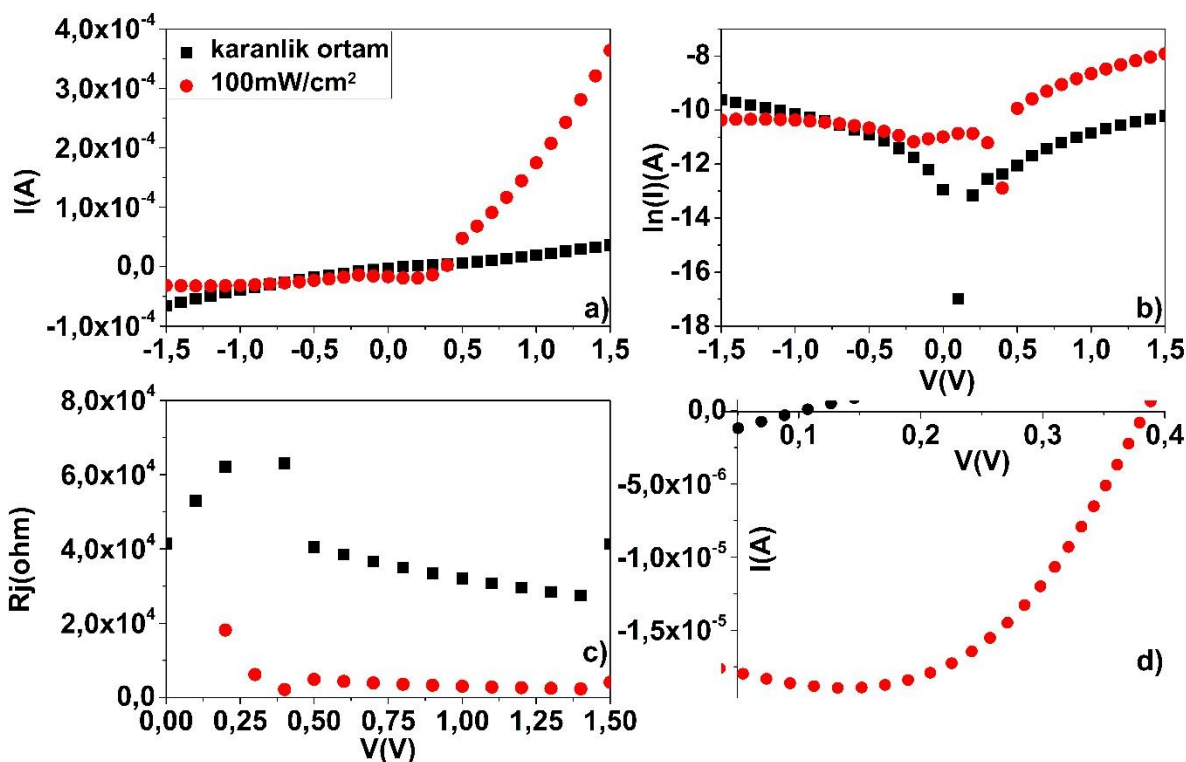
homojen bir şekilde dağılıma sahip oldukları görülmektedir. Şekil 2c'de ZnO bileşığının elementel dağılım spektrumu verilmiştir. Yapı içerisinde Zn oranının %74 ve O oranının %26 olduğu tespit edilmiştir.



**Şekil 2.** a) Zn, b) O' nun ZnO ince film yapısındaki dağılımlarının SEM-EDX görüntülerini c) ZnO yapısının EDS spektrumu.

Ürettiğimiz çoklu heteroeklemin optoelektronik özelliklerinin belirlenebilmesi için karanlık ve  $100\text{mW/cm}^2$  ışık şiddeti altında elektriksel özellikleri karakterize edilmiştir. Şekil 3a'da Ag/ITO/ZnO/C<sub>24</sub>H<sub>12</sub>/Ag çoklu heteroekleminin  $\pm 1.5\text{V}$  potansiyel aralığında karanlık ve  $100\text{ mW/cm}^2$  ışık şiddeti altında I-V grafiği verilmiştir. İşık altında ileri besleme potansiyelinde akımın arttığı bariz bir şekilde görülmektedir. Yasak enerji bant aralığından yüksek enerjiye sahip fotonlar eklemeler arasında oluşan fakirleşmiş bölge sınırlarında yeni elektron boşluk çiftlerinin oluşmasını sağlar. Dış elektrik alan altında oluşan gerilim bölge sınırlarındaki tanecikler arasında bir iç elektrik alan oluşumuna sebep olur. Bu iç elektrik alan yeni oluşan elektron boşluk çiftlerini birbirinden ayırmaya zorlar. Elektronlar bu iç elektrik alan kuvveti ile hızlı bir şekilde süpürülür ve serbest hale gelir. Serbest hale gelen bu elektronlar doğal olarak asal taşıyıcı konsantrasyonu artırır ve akımın artmasını

sağlar (Ünal, 2013; Ünal, 2021). Ayrıca ışık şiddeti altında ürettiğimiz çoklu heteroekleminin doğrultma oranının arttığı da görülmektedir.



Şekil 3. Ag/ITO/ZnO/C<sub>24</sub>H<sub>12</sub>/Ag çoklu heteroeklemin karanlık ve 100 mW/cm<sup>2</sup> ışık şiddeti altında a) I-V, b) yarı logaritmik I-V, c) Rj-V ve d) fotodiyoç ve fotovoltaik bölge gösterim grafikleri.

Şekil 3b'de Ag/ITO/ZnO/C<sub>24</sub>H<sub>12</sub>/Ag çoklu heteroeklemin yarı logaritmik I-V grafiği verilmiştir. Ters ve ileri besleme altında özellikle ışıklı ortamda bir asimetrinin olduğu bariz şekilde görülmektedir. İleri besleme altında lineer bölgeler karanlık ortamda 0.1-0.3V arasındaki bölgeye düşerken ışıklı ortamda lineer bölge 0.4-0.5V potansiyel aralığına düşmektedir. Lineer bölge potansiyellerinden daha yüksek potansiyel değerlerine doğru çıkıştıkça seri direnç etkisi ortaya çıkmaktadır ve lineerlik bozulmaktadır. Geri besleme altında doymamışlık akım durumu her iki ortamda da görünmektedir fakat karanlık ortamda bu durum daha fazladır çünkü geri besleme akım eğrisinin eğimi daha fazladır. Işığın etkisiyle bu durum iyileşmiştir. Doymamışlık akım durumunun temel sebebi çoklu heteroeklemi oluşturan tabakalar arasında oluşan arayüzey durumları ve bu tabakalar ile metal kontaklar arasında oluşan görüntü yük kuvvetlerinin azalması sebep olur (Kampen ve ark., 2002).

Şekil 3c'de eklem direncinin ( $R_j = dV/dI$ ) ileri besleme voltajına karşı çizilen grafiği verilmiştir. Uygulama potansiyelinin artmasıyla  $R_j$  değerlerinin azlığı görülmektedir. Düşük voltaj bölgesinde  $R_j$  değerleri karanlık ortamda  $6.2 \times 10^4 \Omega$  iken ışıklı ortamda  $1.8 \times 10^4 \Omega$ 'dur. Yüksek voltaj bölgesinde bu değerler karanlık ortamda  $2.7 \times 10^4 \Omega$ 'a düşmüşken ışıklı ortamda  $2.3 \times 10^3 \Omega$ 'a kadar düşmüştür.

Yüksek voltaj bölgesindeki  $R_j$  değerleri aynı zamanda çoklu heteroeklemin seri direnç değerleridir.  $R_j$  değerlerindeki bu düşüşün sebebi fotoiletkenliğin artmasıyla açıklanabilir.

Şekil 3d'de Ag/ITO/ZnO/C<sub>24</sub>H<sub>12</sub>/Ag çoklu heteroekleminin fotovoltaik ve fotodiyot bölgeleri gösterilmiştir. Bu bölgeden 100 mW cm<sup>-2</sup> ışık şiddeti altında fotovoltaik parametreler olan  $I_{mpp}$ ,  $I_{sc}$ ,  $V_{mpp}$ ,  $V_{oc}$  ve FF değerleri belirlenmiştir. Burada  $I_{mpp}$  maksimum güç bölgesi akımı,  $I_{sc}$  kısa devre akımı,  $V_{mpp}$  maksimum güç bölgesi voltajı,  $V_{oc}$  açık devre voltajı ve FF dolum faktörüdür. Fotodiyotlar için I-V grafiğinde 4 bölge vardır (Allison, 1990).  $V_{oc}$  değeri, I-V eğrisinin bu bölgede gerilim ekseni kestiği noktadan elde edilir.  $I_{sc}$  değeri, I-V eğrisinin akım eksenini aynı bölgede kestiği noktadan elde edilir.  $I_{mpp}$  ve  $V_{mpp}$ 'nin değeri, I-V eğrisi ile dördüncü bölgedeki koordinatları arasında çizilebilecek en büyük dikdörtgen içindedir.  $V_{mpp}$  değeri bu dikdörtgenin voltaj eksenini kestiği noktadır,  $I_{mpp}$  değeri ise bu dikdörtgenin akım eksenini kestiği noktadır. Dolum faktörü (FF) denklem 1'den hesaplanmıştır (Bartesaghi ve ark., 2015).

$$FF = \frac{I_{mpp} \times V_{mpp}}{I_{sc} \times V_{oc}} \quad (1)$$

sırasıyla  $I_{mpp}$ ,  $I_{sc}$ ,  $V_{mpp}$ ,  $V_{oc}$  ve denklem 1'den hesaplanan FF değeri,  $-1.42 \times 10^{-5} A$ ,  $-1.78 \times 10^{-5}$ ,  $0.27V$ ,  $0.38V$  ve  $0.56$ 'dır.

MS (metal-yarıiletken), MPS (metal polimer yarıiletken) SBD (Schottky engel diyotu) diyotlarının akım gerilim mekanizmalarından yola çıkarak ve farklı metotlar kullanılarak bu diyotlara ait diyot idealite faktörü, engel yüksekliği, seri direnç gibi parametreleri hesaplanabilir (Çetinkaya ve ark., 2013; Shetty ve ark., 2015).

Geleneksel metotta akım gerilim arasındaki ilişki termoionik emisyon teorisine göre belirlenir ve denklem 2 (Al-Ta'ii ve ark., 2016; Aldemir ve ark., 2017)'de bu denklem verilmiştir.

$$I = AA^*T^2 \exp\left(-\frac{q\phi_b}{kT}\right) [\exp\left(\frac{q(V-IR_s)}{kT}\right) - 1] \quad (2)$$

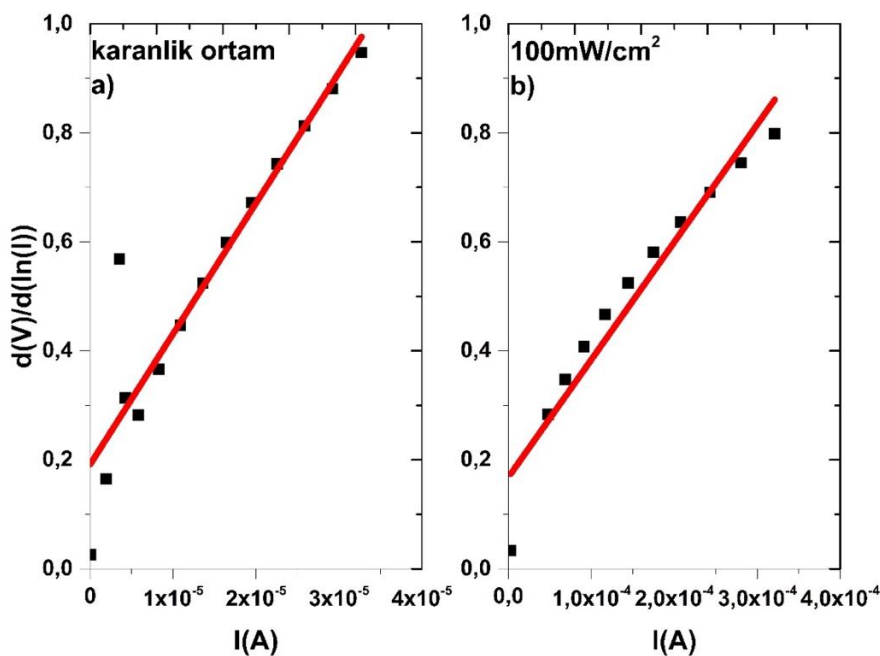
Burada A aktif diyot alanı, A\* Richardson sabiti, q elektronun yükü,  $\phi_b$  engel yüksekliği, k Boltzman sabiti, T Kelvin cinsinden sıcaklık, V uygulanan potansiyel, R<sub>s</sub> seri dirençtir. Düşük voltaj bölgesinde  $\ln(I)$  nin V ye karşı çizilen grafiğinin lineer bölgesinin eğimi diğer sabitlerle birlikte hesaplanırsa n idealite faktörü bulunmuş olur.  $\ln(I)$  nin V ye karşı çizilen grafiğinin lineer bölgesinin  $\ln(I)$ 'yı kestiği nokta bize ters doyma akımı, I<sub>0</sub>'yı verir. I<sub>0</sub>, n ve diğer sabitler kullanılarak buradan engel yüksekliği de hesaplanabilir.

Cheung&Cheung metodunda ise Cheung&Cheung fonksiyonu (Cheung ve Cheung, 1986) kullanılarak diyot idealite faktörü n ve seri direnç Rs değeri belirlenir. Eşitlik 3'te Cheung&Cheung fonksiyonu verilmiştir.

$$\frac{dV}{d\ln(I)} = IR_s + \frac{nKT}{q} \quad (3)$$

Eşitlik 3'te I-V grafiğinin düşük ve orta voltaj bölgesindeki değerler kullanılarak  $\frac{dV}{d\ln(I)}$ 'nın I ya karşı grafiği çizilir.  $\frac{dV}{d\ln(I)}$ 'nın I ya karşı çizilen grafiğin eğimi Rs değerini, eğrinin y eksenini kestiği değerden de diğer sabitler kullanılarak n idealite faktörü hesaplanır. Ayrıca Şekil 1c grafiğinden de Rs seri direnç belirlenebilir (Rajagopla Reddy ve ark., 2021).

Şekil 4'te Ag/ITO/ZnO/C<sub>24</sub>H<sub>12</sub>/Ag çoklu heteroekleminin a) karanlık ve b) 100 mW cm<sup>-2</sup> ışık şiddeti altında  $\frac{dV}{d\ln(I)}$ 'nın I ya karşı çizilen grafiği verilmiştir.



**Şekil 4.** Ag/ITO/ZnO/C<sub>24</sub>H<sub>12</sub>/Ag çoklu heteroekleminin a) karanlık ve b) 100 mW cm<sup>-2</sup> ışık şiddeti altında  $\frac{dV}{d\ln(I)}$ 'nın I ya karşı çizilen grafiği.

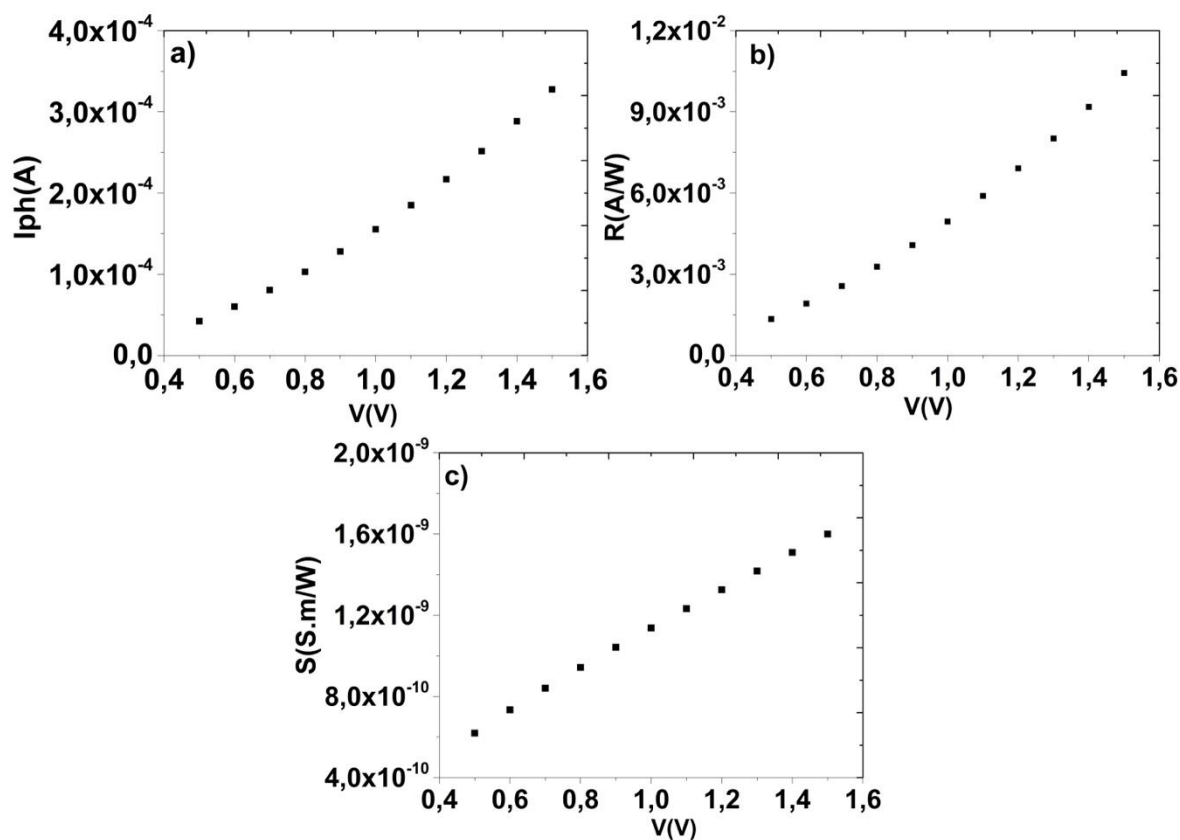
Karanlık ve 100 mW cm<sup>-2</sup> ışık şiddeti altında, geleneksel ve Cheung&Cheung metodlarından hesaplanan n, Rs,  $\emptyset_b$  ve I<sub>0</sub> parametreleri tablo 1'de verilmiştir.

**Tablo 1.** Ag/ITO/ZnO/C<sub>24</sub>H<sub>12</sub>/Ag çoklu heteroekleminin karanlık ve 100mW/cm<sup>2</sup> ışık şiddeti altında elektriksel parametreleri.

	$\frac{d(V)}{d(\ln(I))} - I$		$\ln(I) - V$		$Rj - V$	
Parametre	n	Rs( $\Omega$ )	n	$\phi_b$ (eV)	I <sub>0</sub> (A)	Rs( $\Omega$ )
Karanlık	7.40	2.3x10 <sup>4</sup>	6.37	0.647	5,7E-7	2.7x10 <sup>4</sup>
100mW/cm <sup>2</sup>	6.50	2.1x10 <sup>3</sup>	1.31	0.914	1,9E-11	2.3x10 <sup>3</sup>

Tablo 1'den görüldüğü üzere farklı metodlarla hesaplanan Rs değerlerinin ışığın etkisiyle azalduğu görülmektedir. ışığın etkisiyle oluşan yeni elektron boşluk çiftleri taşıyıcı konsantrasyonunu artırmış bu da Rs değerlerinin düşmesine sebep olmuştur. Her iki metodla hesaplanan diyon idealite faktörü n değerlerinde ışık şiddetinin artmasıyla düşüş gözlenmiştir. Bu durum Rs değerlerinin azalmasıyla açıklanabilir. Hem karanlık ortamda hem de 100 mW cm<sup>-2</sup> ışık şiddeti altındaki n değerleri ideal diyon değeri olan 1'den uzaktır. Karanlık ortamdaki n>>2 olma durumu elektron hole rekombinasyon durumunun baskın olduğu anlamına gelir. Ayrıca tabakalarda oluşan kirlilik durumları, istenmeyen oksit tabakalarının meydana gelmesi diyon idealite faktörünün olağan değerden sapmasına sebep olur. Ayrıca literatürde n değerinin yüksek olduğu örnekler mevcuttur (Coşkun ve ark., 2018; Koç ve ark., 2019; Serkan ve ark., 2021). Geleneksel metodla hesaplanan  $\phi_b$  değeri ışık şiddetinin artmasıyla artmıştır. Bu durum ters doyma akımının azalmasına sebep olmuştur.

Fotoakım ( $I_{ph}=I_{ill}-I_{dark}$ ), fotoduyarlılık (Responsivity,  $R=I_{ph}/P_{inc}.A$ ) ve fotohassasiyet (Sensitivity,  $S=R.T/V$ ) diyonlar için önemli parametrelerdir (Gündüz ve ark., 2013; Zhang ve ark., 2013; Patel ve ark., 2019). Burada I<sub>ill</sub> ışık altında akım, I<sub>dark</sub> karanlık ortamdaki akım, P<sub>inc</sub> ışık şiddeti (100 mW cm<sup>-2</sup>), A kontak alanı, T aktif tabakanın kalınlığı ve V uygulama voltajıdır. Şekil 5a) I<sub>ph</sub>, 5b) R ve 5c) S değerlerinin ileri besleme altında değişim grafikleri verilmiştir. Uygulama voltajının artmasıyla I<sub>ph</sub> ve R değerleri eksponansiyel bir artış gözlemlenmişken S değerleri lineer bir artış göstermiştir. 0.5 V uygulama potansiyelinde I<sub>ph</sub> değeri 4.22x10<sup>-5</sup> A, R değeri 1.34x10<sup>-3</sup> A W<sup>-1</sup>, S değeri 6.18x10<sup>-10</sup> S.m W<sup>-1</sup>, 1.5 V uygulama potansiyelinde I<sub>ph</sub> değeri 3.27x10<sup>-4</sup> A, R değeri 1.04x10<sup>-2</sup> A W<sup>-1</sup>, S değeri 1.59x10<sup>-9</sup> S.m W<sup>-1</sup>'dir. Elde edilen sonuçların literatürle uyumlu olduğu görülmüştür (İlhan ve ark., 2021; Aslan ve ark., 2022).



**Şekil 5.** Ag/ITO/ZnO/C<sub>24</sub>H<sub>12</sub>/Ag çoklu heteroekleminin 100 mW cm<sup>-2</sup> ışık şiddeti altında a)  $I_{ph}$ , b) R and c) S değerlerinin ileri besleme altında farklı voltaj değerlerine göre değişimi.

#### 4. Sonuçlar ve Öneriler

Metal oksit ZnO tabakası cam/ITO üzerine başarılı bir şekilde elektrokimyasal kaplama yöntemiyle büyütülmüştür. Cam/ITO/ZnO tabakasının üzerine C<sub>24</sub>H<sub>12</sub> organik tabakası termal buharlaştırma yöntemi kullanılarak biriktirilmiştir. Farklı yöntemlerle üretilen tabakaların ayrı ayrı SEM ve ZnO tabakasının EDS analizi yapılmıştır. Elektriksel özelliklerinin incelenmesi için en alt tabaka ITO ve en üst tabaka C<sub>24</sub>H<sub>12</sub> üzerine termal buharlaştırma yöntemiyle noktalı Ag kontakları atılmıştır ve Ag/ITO/ZnO/C<sub>24</sub>H<sub>12</sub>/Ag çoklu heteroeklemi elde edilmiştir. Elektriksel analiz  $\pm 1.5$ V potansiyel aralığında karanlık ve 100 mW cm<sup>-2</sup> ışık şiddeti altında gerçekleştirilmiştir. Üretilen çoklu heteroeklemin doğrultucu karakteristik gösterdiği ve ışık altında elektriksel iletkenliğinin arttığı gözlemlenmiştir. Farklı metodlar kullanarak karanlık ve ışıklı ortamda  $R_s$ ,  $n$ ,  $\phi_b$ ,  $I_0$  gibi diyon parametreleri ve 100 mW/cm<sup>2</sup> ışık şiddeti altında heteroeklemin fotoiletkenliği hakkında önemli parametreler olan  $I_{ph}$ ,  $R$  ve  $S$  değerleri belirlenmiştir. Ayrıca ürettiğimiz çoklu heteroeklemin ışık altında fotovoltaik parametreleri  $I_{mpp}$ ,  $I_{sc}$ ,  $V_{mpp}$ ,  $V_{oc}$  belirlenmiş ve buradan hesaplanan FF değerinin 0.56 olduğu görülmüştür.

## **Yazarların Katkısı**

Tüm yazarlar çalışmaya eşit katkıda bulunmuştur.

## **Çıkar Çatışması Beyanı**

Yazarlar arasında herhangi bir çıkar çatışması bulunmamaktadır.

## **Araştırma ve Yayın Etiği Beyanı**

Yapılan çalışmada araştırma ve yayın etiğine uyulmuştur.

## **Kaynaklar**

- Al-Ta’ii, H. M. J., Periasamy, V., and Amin, Y. M., (2016). Electronic Characterization of Au/DNA/ITO Metal-Semiconductor-Metal Diode and Its Application as a Radiation Sensor. *Plos One*, 11(1), e0145423. <https://doi.org/10.1371/journal.pone.0145423>
- Aldemir, D. A., Kökce, A., ve Özdemir, A. F., (2017). Schottky diyon parametrelerini belirlemeye kullanılan metotların geniş bir sıcaklık aralığı için kıyaslanması. *SAÜ Fen Bilimleri Enstitüsü Dergisi*, 1-1. <https://doi.org/10.16984/saufenbilder.279996>
- Allison, J., (1990). *Electronic Engineering Semiconductors and Devices*. London, England: McGraw-Hill College
- Aslan, N., Kurt, M. Ş., and Koç, M. M., (2022). Morpho-structural and optoelectronic properties of diamond like carbon–germanium (DLC-Ge) composite thin films produced by magnetron sputtering. *Optical Materials*, 126, 112229.
- Bartesaghi, D., Pérez, I. D. C., Kniepert, J., Roland, S., Turbiez, M., Neher, D., and Koster, L. J. A., (2015). Competition between recombination and extraction of free charges determines the fill factor of organic solar cells. *Nature Communications*, 6(1), 7083. <https://doi.org/10.1038/ncomms8083>
- Chandrappa, K. G., & Venkatesha, T. V., (2012). Electrochemical synthesis and photocatalytic property of zinc oxide nanoparticles. *Nano-Micro Letters*, 4(1), 14-24.
- Chen, L., Puniredd, S. R., Tan, Y.-Z., Baumgarten, M., Zschieschang, U., Enkelmann, V., Pisula, W., Feng, X., Klauk, H., & Müllen, K., (2012). Hexathienocoronenes: synthesis and self-organization. *Journal of the American Chemical Society*, 134(43), 17869-17872.
- Cheung, S. K., and Cheung, N. W., (1986). Extraction of Schottky diode parameters from forward current-voltage characteristics. *Applied Physics Letters*, 49(2), 85-87. <https://doi.org/10.1063/1.97359>
- Chrissanthopoulos, A., Baskoutas, S., Bouropoulos, N., Dracopoulos, V., Poulopoulos, P., and Yannopoulos, S., (2011). Synthesis and characterization of ZnO/NiO p–n heterojunctions: ZnO nanorods grown on NiO thin film by thermal evaporation. *Photonics and Nanostructures-Fundamentals and Applications*, 9(2), 132-139.
- Coşkun, B., Mensah-Darkwa, K., Soylu, M., Al-Sehemi, A. G., Dere, A., Al-Ghamdi, A., Gupta, R., and Yakuphanoglu, F., (2018). Optoelectrical properties of Al/p-Si/Fe: N doped ZnO/Al diodes. *Thin solid films*, 653, 236-248.
- Çetinkaya, H. G., Tecimer, H., Uslu, H., & Altindal, Ş., (2013). Photovoltaic characteristics of Au/PVA (Bi-doped)/n-Si Schottky barrier diodes (SBDs) at various temperatures. *Current Applied Physics*, 13(6), 1150-1156. <https://doi.org/10.1016/j.cap.2013.03.010>
- Erdal, M. O., (2020). Photoresponse properties of coronene nanowires thin-film-based photodiode. *Journal of Materials Science: Materials in Electronics*, 31(21), 18980-18987.

- Güllü, Ö., Asubay, S., Aydoğan, Ş., and Türüt, A., (2010). Electrical characterization of the Al/new fuchsin/n-Si organic-modified device. *Physica E: Low-dimensional Systems and Nanostructures*, 42(5), 1411-1416.
- Gündüz, B., Turan, N., Kaya, E., and Çolak, N., (2013). The photo-electrical properties of the p-Si/Fe(II)-polymeric complex/Au diode. *Synthetic Metals*, 184, 73-82. <https://doi.org/https://doi.org/10.1016/j.synthmet.2013.10.002>
- İshteyaq, I., and Muzaffar, K., (2020). Performance characterization of (Pt, Au, Pd)/ZnO/n-Si/Al Schottky structures for varied temperature and UV illumination conditions. *Superlattices and Microstructures*, 145, 106604.
- İlhan, M., Koç, M. M., Coşkun, B., Erkovan, M., and Yakuphanoglu, F., (2021). Cd dopant effect on structural and optoelectronic properties of TiO<sub>2</sub> solar detectors. *Journal of Materials Science: Materials in Electronics*, 32(2), 2346-2365.
- Kampen, T. U., Park, S., and Zahn, D. R. T., (2002). Barrier height engineering of Ag/GaAs(100) Schottky contacts by a thin organic interlayer. *Applied surface science*, 190(1), 461-466. [https://doi.org/https://doi.org/10.1016/S0169-4332\(01\)00919-9](https://doi.org/https://doi.org/10.1016/S0169-4332(01)00919-9)
- Klauk, H., (2010). Organic thin-film transistors. *Chemical Society Reviews*, 39(7), 2643-2666.
- Koç, M. M., Aslan, N., Erkovan, M., Aksakal, B., Uzun, O., Farooq, W. A., & Yakuphanoglu, F., (2019). Electrical characterization of solar sensitive zinc oxide doped-amorphous carbon photodiode. *Optik*, 178, 316-326.
- Kocyigit, A., Yilmaz, M., Aydogan, S., Incekara, U., and Sahin, Y., (2020). The performance of chitosan layer in Au/n-Si sandwich structures as a barrier modifier. *Polymer Testing*, 89, 106546.
- Lee, J., Choi, Y., Kim, J., Park, M., and Im, S., (2002). Optimizing n-ZnO/p-Si heterojunctions for photodiode applications. *Thin solid films*, 403, 553-557.
- Liu, B., & Zeng, H. C., (2003). Hydrothermal synthesis of ZnO nanorods in the diameter regime of 50 nm. *Journal of the American Chemical Society*, 125(15), 4430-4431.
- Marimuthu, T., Anandhan, N., & Thangamuthu, R., (2018). Electrochemical synthesis of one-dimensional ZnO nanostructures on ZnO seed layer for DSSC applications. *Applied surface science*, 428, 385-394.
- Meng, H., Han, Y., Zhou, C., Jiang, Q., Shi, X., Zhan, C., & Zhang, R., (2020). Conductive Metal–Organic Frameworks: Design, Synthesis, and Applications. *Small Methods*, 4(10), 2000396.
- Patel, A., Pataniya, P., Solanki, G. K., Sumesh, C. K., Patel, K. D., & Pathak, V. M., (2019). Fabrication, photoresponse and temperature dependence of n-VO<sub>2</sub>/n-MoSe<sub>2</sub> heterojunction diode. *Superlattices and Microstructures*, 130, 160-167. <https://doi.org/https://doi.org/10.1016/j.spmi.2019.04.032>
- Pathak, T. K., Kumar, V., Prakash, J., Purohit, L., Swart, H., & Kroon, R., (2016). Fabrication and characterization of nitrogen doped p-ZnO on n-Si heterojunctions. *Sensors and Actuators A: Physical*, 247, 475-481.
- Pereira, M. J., Matta, M., Hirsch, L., Dufour, I., Briseno, A., Gali, S. M., Olivier, Y., Muccioli, L., Crosby, A., & Ayela, C., (2018). Application of Rubrene Air-Gap Transistors as Sensitive MEMS Physical Sensors. *ACS applied materials & interfaces*, 10(48), 41570-41577.
- Pietruszka, R., Luka, G., Witkowski, B., Kopalko, K., Zielony, E., Bieganski, P., Placzek-Popko, E., & Godlewski, M., (2014). Electrical and photovoltaic properties of ZnO/Si heterostructures with ZnO films grown by atomic layer deposition. *Thin solid films*, 563, 28-31.
- Pourmortazavi, S. M., Marashianpour, Z., Karimi, M. S., & Mohammad-Zadeh, M., (2015). Electrochemical synthesis and characterization of zinc carbonate and zinc oxide nanoparticles. *Journal of Molecular Structure*, 1099, 232-238.
- Rajagopal Reddy, V., Prasad, C., Janardhanam, V., & Choi, C.-J., (2021). Electrical and carrier transport properties of Ti/α-amylase/p-InP MPS junction with a α-amylase polymer interlayer. *Journal of Materials Science: Materials in Electronics*, 32, 1-14. <https://doi.org/10.1007/s10854-021-05532-2>
- Rana, V. S., Rajput, J. K., Pathak, T. K., & Purohit, L., (2018). Multilayer MgZnO/ZnO thin films for UV photodetectors. *Journal of Alloys and Compounds*, 764, 724-729.
- Samadi, M., Zirak, M., Naseri, A., Khorashadizade, E., and Moshfegh, A. Z., (2016). Recent progress on doped ZnO nanostructures for visible-light photocatalysis. *Thin solid films*, 605, 2-19.
- Serkan, U., Coşkun, B., Koç, M. M., ve Erkovan, M., (2021). Electrical Properties of ZnO: TiO<sub>2</sub> Nanocomposite Thin Films. *Kırklareli Üniversitesi Mühendislik ve Fen Bilimleri Dergisi*, 7(2), 221-231.
- Sharma, S., Vyas, S., Periasamy, C., and Chakrabarti, P., (2014). Structural and optical characterization of ZnO thin films for optoelectronic device applications by RF sputtering technique. *Superlattices and Microstructures*, 75, 378-389.

- Shetty, A., Roul, B., Mukundan, S., Mohan, L., Chandan, G., Vinoy, K. J., and Krupanidhi, S. B., (2015). Temperature dependent electrical characterisation of Pt/HfO<sub>2</sub>/n-GaN metal-insulator-semiconductor (MIS) Schottky diodes. *AIP Advances*, 5(9). <https://doi.org/10.1063/1.4930199>
- Ueda, K., Tabata, H., & Kawai, T., (2001). Magnetic and electric properties of transition-metal-doped ZnO films. *Applied Physics Letters*, 79(7), 988-990.
- Ünal, F., (2013). *InSe ince filmlerinin farklı alt tabanlar üzerinde büyütülmesi ve optik, yapışal, fotoelektrik özelliklerinin araştırılması*. Yüksek Lisans Tezi, Kafkas Üniversitesi, Fen Bilimleri Enstitüsü, Kars.
- Ünal, F., (2021). *ITO cam üzerine büyütülen InSe/rubrene, CIS/rubrene, CIGS/rubrene, InSe/coronene, CIS/coronene, CIGS/coronene heteroeklemlerin yapışal, optik ve elektriksel özelliklerinin belirlenmesi*. Doktora Tezi, İnönü Üniversitesi, Fen Bilimleri Enstitüsü, Malatya.
- Yuvaraja, S., Nawaz, A., Liu, Q., Dubal, D., Surya, S. G., Salama, K. N., and Sonar, P., (2020). Organic field-effect transistor-based flexible sensors. *Chemical Society Reviews*, 49(11), 3423-3460.
- Zhang, D., Fan, B., Ying, L., Li, N., Brabec, C. J., Huang, F., and Cao, Y., (2021). Recent progress in thick-film organic photovoltaic devices: *Materials, devices, and processing*. *SusMat*, 1(1), 4-23.
- Zhang, D.W., Li, M., & Chen, C.F., (2020). Recent advances in circularly polarized electroluminescence based on organic light-emitting diodes. *Chemical Society Reviews*, 49(5), 1331-1343.
- Zhang, X., Zhang, X., Wang, L., Wu, Y., Wang, Y., Gao, P., Han, Y., & Jie, J., (2013). ZnSe nanowire/Si p-n heterojunctions: Device construction and optoelectronic applications. *Nanotechnology*, 24(39), Article 395201. <https://doi.org/10.1088/0957-4484/24/39/395201>
- Zhao, X., Nagashima, K., Zhang, G., Hosomi, T., Yoshida, H., Akihiro, Y., Kanai, M., Mizukami, W., Zhu, Z., & Takahashi, T., (2019). Synthesis of monodispersely sized ZnO nanowires from randomly sized seeds. *Nano Letters*, 20(1), 599-605.